

# Método de Volúmenes Finitos

## Ejercicios Prácticos

Santiago Chialvo

Noviembre 20, 2015

### 1. Problema 1: Manipuleo de Datos Geométricos

Para este ejercicio se pide que, dada una malla en formato nodos (xnod) y conectividades (icone) en 3D, se genere un código que calcule los arreglos de OpenFOAM

- (1) Faces.
- (2) Points.
- (3) Owner.
- (4) Neighbor.

Y las propiedades geométricas

- (1) Volumen de cada celda.
- (2) Vector de Área Normal.
- (3) Centroide de cada Celda.
- (4) Centroide de cada Cara.

A continuación se presenta el código desarrollado y se irá explicando parte por parte los pasos seguidos. El software utilizado para escribir el mismo fue Matlab.

El array *lenicone* contiene la cantidad de celdas presentes en la malla. Empezamos calculando el volumen y el centroide de cada celda, dependiendo si se trata de un hexaedro o un tetraedro. Si se trata de un hexaedro,

el volúmen se calcula dividiendo el mismo en 5 tetraedros y calculando el volúmen de cada uno, luego se suman.

```

1 function [faces , points , owner , neighbor , Vceldas , Cceldas , Afaces ,
2         Cfaces] = Ejercicio1_FVM(xnode , icone , hexa)
3
4 %%
5 %%Example
6 %icone = [1      2      3      4      5      6      7      8 ;5      6
7           7      8      9     10     11     12];
8 %xnode = [xnode = [0 0 0; 1 0 0; 1 1 0; 0 1 0; 0 0 0.1; 1 0 0.1;
9               1 1 0.1; 0 1 0.1; 0 0 0.2; 1 0 0.2; 1 1 0.2; 0 1 0.2];
10
11 points = xnode;
12
13 lenicone = length(icone(:,1)); %Cantidad de celdas
14
15 %% Calculo de volumen y centroides de celdas
16
17 Vceldas = zeros(lenicone,1); %vector con volúmenes de las celdas
18 Cceldas = zeros(lenicone,3); %vector con los centroides de las
19 celdas
20
21 if (hexa)
22
23     for i=1:lenicone
24         tets = [points(icone(i,1),:) points(icone(i,2),:) points
25                 (icone(i,4),:) points(icone(i,5),:) points(icone(i
26                 ,2),:) points(icone(i,4),:) points(icone(i,3),:)
27                 points(icone(i,7),:) points(icone(i,5),:) points(
28                 icone(i,2),:) points(icone(i,8),:) points(icone(i,7)
29                 ,:) points(icone(i,2),:) points(icone(i,5),:) points
30                 (icone(i,6),:) points(icone(i,7),:) points(icone(i
31                 ,2),:) points(icone(i,5),:) points(icone(i,4),:)
32                 points(icone(i,7),:) ]];
33         Vceldas(i) = 0;
34
35         for j=1:5
36             tet = tets(j,:);
37             v1 = [tet(1) tet(2) tet(3)];
38             v2 = [tet(4) tet(5) tet(6)];
39             v3 = [tet(7) tet(8) tet(9)];
40             v4 = [tet(10) tet(11) tet(12)];
41             A = v2 - v1;
42             B = v3 - v1;
43             C = v4 - v1;
44             mat = [A;B;C];
45             Vceldas(i) = Vceldas(i) + (1/6)*abs(det(mat));
46         end
47     end
48 end

```

```

34         end
35
36         %Calcular centroide
37         for j=1:8
38             Cceldas(i,:) = Cceldas(i,:) + points(icono(i,j),:);
39         end
40         Cceldas(i,:) = Cceldas(i,:)/8;
41     end
42
43 else
44
45     for i=1:lenicone
46         Vceldas(i) = 0;
47
48         v1 = [points(icono(i,1),:) 1];
49         v2 = [points(icono(i,2),:) 1];
50         v3 = [points(icono(i,3),:) 1];
51         v4 = [points(icono(i,4),:) 1];
52         mat = [v1;v2;v3;v4];
53         Vceldas(i) = (1/6)*abs(det(mat));
54
55         %Calcular centroide
56         for j=1:4
57             Cceldas(i,:) = Cceldas(i,:) + points(icono(i,j),:);
58         end
59         Cceldas(i,:) = Cceldas(i,:)/4;
60     end
61
62 end

```

Para cada celda, se asignan sus 4 o 6 caras correspondientes en el arreglo *faces* (Siguiendo la regla de la mano derecha, todas las normales apuntando hacia afuera). Luego, en un bucle interno, se asignan todas las caras con su *owner* correspondiente (Inclusive las repetidas, que serán eliminadas luego).

```

1 %% Calculo de faces y owner
2
3 if (hexa)
4
5     faces = zeros(lenicone*6,4); %6 caras por celda, cada una
6         con 4 vertices
7     owner = zeros(lenicone*6,1); %6 caras, cada una con 1
8         propietario
9
10    for i=1:lenicone

```

```

9      faces((6*(i-1))+1,:) = [icone(i,5) icone(i,6) icone(i,7)
10                             icone(i,8)];
11      faces((6*(i-1))+2,:) = [icone(i,1) icone(i,5) icone(i,8)
12                             icone(i,4)];
13      faces((6*(i-1))+3,:) = [icone(i,2) icone(i,3) icone(i,7)
14                             icone(i,6)];
15      faces((6*(i-1))+4,:) = [icone(i,1) icone(i,2) icone(i,6)
16                             icone(i,5)];
17      faces((6*(i-1))+5,:) = [icone(i,4) icone(i,8) icone(i,7)
18                             icone(i,3)];
19      faces((6*(i-1))+6,:) = [icone(i,1) icone(i,4) icone(i,3)
20                             icone(i,2)];
21
22      for j=(6*(i-1) + 1):(6*(i-1) + 6) %Primero ponemos todas
23          , inclusive repetidas
24          owner(j) = (i);
25      end
26  end
27
28  else
29
30      faces = zeros(lenicone*4,3); %4 caras por celda, cada una
31          con 3 vertices
32      owner = zeros(lenicone*4,1); %4 caras, cada una con 1
33          propietario
34
35      for i=1:lenicone
36          faces((4*(i-1))+1,:) = [icone(i,1) icone(i,3) icone(i,2)
37                                  ];
38          faces((4*(i-1))+2,:) = [icone(i,1) icone(i,4) icone(i,3)
39                                  ];
40          faces((4*(i-1))+3,:) = [icone(i,3) icone(i,4) icone(i,2)
41                                  ];
42          faces((4*(i-1))+4,:) = [icone(i,1) icone(i,2) icone(i,4)
43                                  ];
44
45          for j=(4*(i-1) + 1):(4*(i-1) + 4) %Primero ponemos todas
46              , inclusive repetidas
47              owner(j) = (i);
48          end
49      end
50  end

```

Una vez inicializados estos arrays, se procede a calcular la longitud del array *faces* con el fin de generar un array del mismo tamaño, pero esta vez con cada cara con la numeración ordenada en forma ascendente. También

creamos un array *ownerdup* que será una copia exacta de *owner* que será utilizado más adelante para buscar caras repetidas.

```

1 lenfaces = length(faces(:,1));
2 if (hexa)
3     facesorted = zeros(lenfaces,4);
4 else
5     facesorted = zeros(lenfaces,3);
6 end
7 owner_dup = owner;
8
9 for i=1:lenfaces
10     facesorted(i,:) = sort(faces(i,:)); %as ordeno para buscar
        repetidas
11 end

```

Luego inicializar el array *neighbor* en cero, inicio un bucle while en el cual, a partir de una cara del arreglo *facesorted* dada, busco desde allí en adelante alguna otra igual. Si esto se cumple (Condición if de línea 9), se le asigna al array *neighbor* el propietario de esa cara (Aquí se utiliza el array *ownerdup* dado que el *owner* original cambia en cada iteración). Luego esa cara es eliminada de *faces*, *facesorted* y *owner*.

```

1 neighbor = zeros(1,1); %es de long variable asi que lo seteo en
    1 fila
2 neighbor_count = 1; %para ir viendo la fila donde estoy parado
3
4 i=1;
5
6 while (i<=(lenfaces-neighbor_count+1))
7     j = i+1;
8     while (j<=(lenfaces-neighbor_count+1)) %busco de ahi para
        adelante
9         if (facesorted(i,:) == facesorted(j,:)) %si encuentro
            una repetida
10
11             neighbor(neighbor_count,1) = owner_dup(i);
12             faces(j,:) = []; %lo elimino de faces
13             facesorted(j,:) = []; %lo elimino de facesorted
14             owner(j) = []; %lo elimino de propietarios
15             neighbor_count=neighbor_count+1;
16
17         end
18     j=j+1;

```

```

19     end
20     i=i+1;
21 end
22
23 end

```

Finalmente, para el cálculo de el vector de área normal y centroide de cada cara, se recalcula la longitud del array *faces* y para cada cara se utilizan fórmulas de área con vectores según se traten de hexas o tetras.

```

1 lenfaces = length(faces(:,1));
2
3 Afaces = zeros(lenfaces,3); %vector normal area de las caras
4 Cfaces = zeros(lenfaces,3); %centroide de las caras
5
6 if (hexa)
7
8     for i=1:lenfaces
9         v1 = points(faces(i,2),:) - points(faces(i,1),:);
10        v2 = points(faces(i,4),:) - points(faces(i,1),:);
11        Afaces(i,:)=cross(v1,v2);
12
13        Cfaces(i,:) = (points(faces(i,1),:) + points(faces(i,2),:)
14            + points(faces(i,3),:) + points(faces(i,4),:))/4;
15    end
16 else
17
18     for i=1:lenfaces
19         v1 = points(faces(i,2),:) - points(faces(i,1),:);
20         v2 = points(faces(i,3),:) - points(faces(i,1),:);
21         Afaces(i,:)=0.5*cross(v1,v2);
22
23         Cfaces(i,:) = (points(faces(i,1),:) + points(faces(i,2),:)
24             + points(faces(i,3),:))/3;
25     end
26 end

```

## 2. Problema 2: Difusion con Fuente en 1D

Para este problema se pide resolver la siguiente ecuación:

$$\int_{\Omega_j} Q^\phi d\Omega + \int_{\Gamma_j} \Gamma^\phi \nabla \phi \cdot d\Gamma_j = 0 \quad (1)$$

En primer lugar es necesario discretizar el término fuente y el término difusivo. Como ya sabemos, el término difusivo se divide en un aporte en la cara derecha y la cara izquierda, esto puede ser visto como una sumatoria para cada celda:

$$Q_c^\phi |\Omega_c| + \sum_{f=li,ld} \Gamma^\phi \nabla \phi \cdot \mathbf{S}_f = 0 \quad (2)$$

Finalmente, el término  $\nabla \phi$  puede ser visto como  $\frac{\phi_c - \phi_w}{h}$  y el volúmen de la celda  $|\Omega_c|$  como  $Sh$ , reemplazando:

$$Q_c^\phi Sh + \sum_{f=li,ld} \Gamma^\phi \frac{\phi_e - \phi_c}{h} S - \Gamma^\phi \frac{\phi_c - \phi_w}{h} S = 0 \quad (3)$$

El código que se utilizó para resolver tanto éste problema como el 3 es el mismo, sólo con diferentes parámetros. En cada sub-sección se irán indicando los parámetros elegidos y mostrando los resultados obtenidos. Al final del informe se detallará el código en cuestión.

### 2.1. Caso 1

Los parámetros utilizados fueron:

- $L = 1$ .
- $tiempofinal = 1$ .
- $tipotemporal = 3$ .
- $deltaT = 1$
- $Q = 10$ .
- $Gamma = 1$ .
- $v = 0$ .
- $rho = 1$ .

- $c$  (del termino reactivo) = 0.
- $\phi_0 = 0$ .
- $\phi_1 = 1$ .

Se utilizó el código con estos parámetros y con un  $h = [0.2, 0.1, 0.05, 0.025]$ . En la figura 1 observamos una gráfica del error en función del  $h$ .

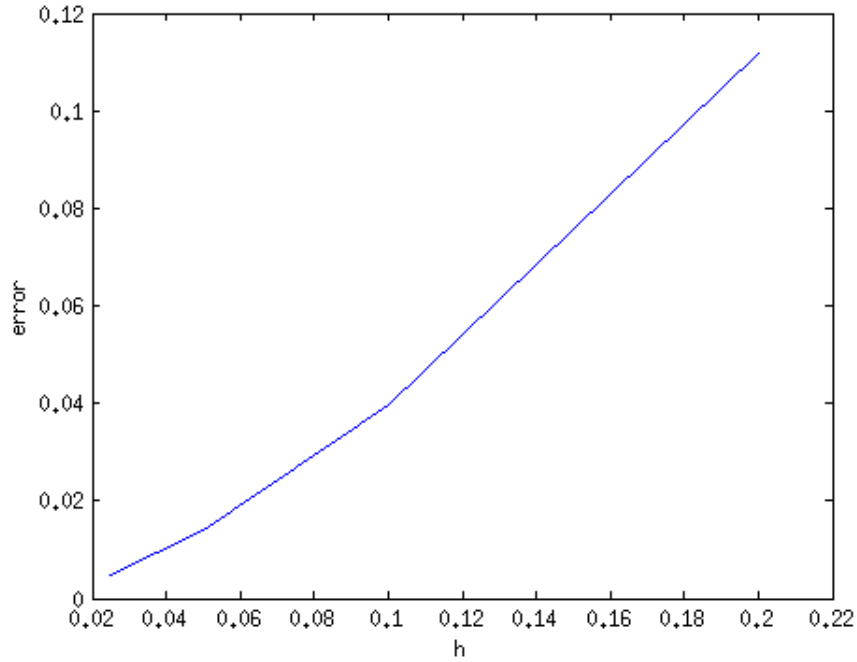


Figura 1: Gráfica del error para el caso 1

## 2.2. Caso 2

Los parámetros escogidos para este caso fueron los mismos que el caso 1, sólo que se impuso una condición Neumann en el lado izquierdo igual a 1. En este caso el error desciende con  $h$  de manera similar al caso 1. Los resultados pueden observarse en la figura 2.



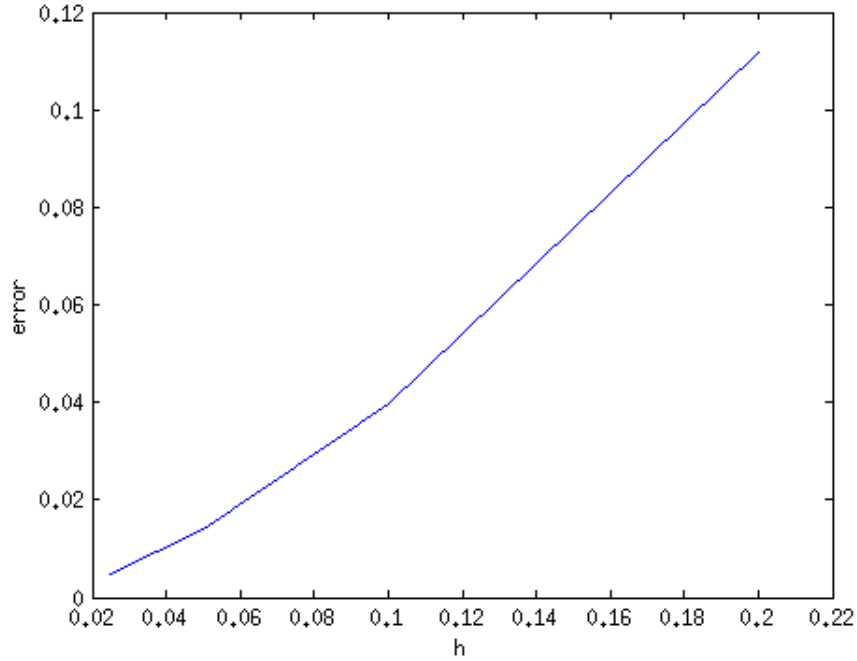


Figura 2: Gráfica del error para el caso 2

### 2.3. Caso 3

En este problema se tuvo que modificar el código original un poco para que se genere una malla con  $h$  variable dependiendo de la siguiente función:

$$h = 1 - 0,75e^{\frac{(\xi-0,5)^2}{0,01}} \quad (4)$$

Con  $\xi = 0 : 0,01 : 1$

Además se agrega una fuente variable según un intervalo. El código utilizado para agregar esto es el siguiente:

```

1  Eta = 0:0.001:1;
2  lenEta = length(Eta);
3
4  h = 1 - 0.75*e.^(-((Eta-0.5).^2 ./ 0.01));
5  h = h/sum(h);
6
7  x(1) = 0;
```

```

8
9  for i=2:lenEta
10     x(i) = x(i-1) + h(i-1);
11 end
12
13 cant_celdas = length(x)-1;
14
15 Q = zeros(cant_celdas,1);
16
17 for i=1:cant_celdas
18     if ((x(i) >= 0.25)&&(x(i) <= 0.75))
19         Q(i) = 10;
20     end
21 end

```

El resultado obtenido puedeo observarse en la figura 3.

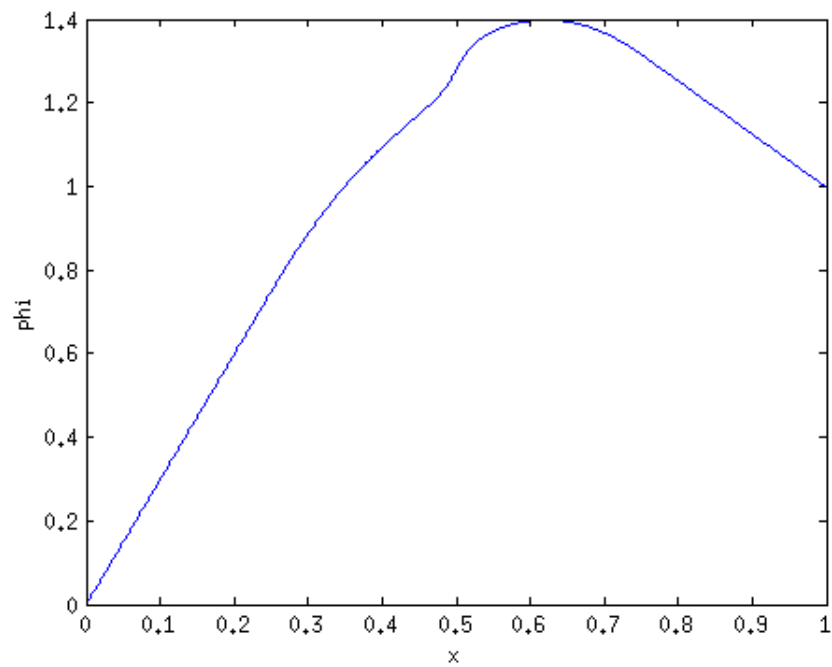


Figura 3: Gráfica de  $\phi$  para el caso 3

#### 2.4. Caso 4

Para este caso los parámetros seteados son similares al caso 1 pero la fuente  $Q$  es igual a 0.1 para todas las celdas y el valor de  $c$  en el término reactivo es 10. El error en función del  $h$  se observa en la figura 4.

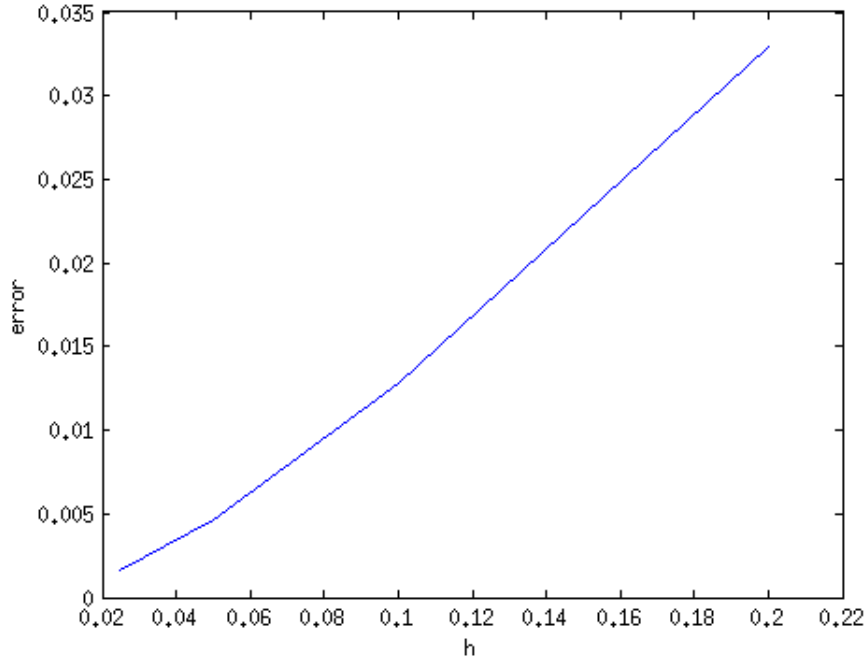


Figura 4: Gráfica del error para el caso 4

#### 2.5. Caso 5

Para este caso se impuso una condición mixta en el lado izquierdo con  $\phi_{\text{inf}} = 2$  y  $h_{\text{inf}} = 10$ . El resultado obtenido puede verse en la figura 5.

### 3. Problema 3: Advección - Difusión con fuente en 1D transiente

Para este problema se pide resolver la siguiente ecuación:

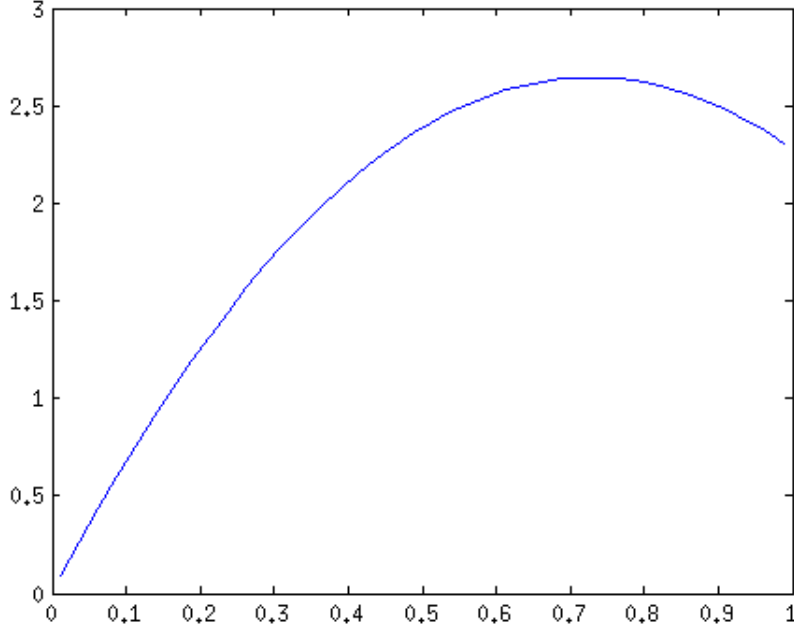


Figura 5: Gráfica de  $\phi$  para el caso 5

$$\int_{\Omega_j} \rho \frac{d\phi}{dt} d\Omega + \int_{\Gamma_j} \rho \phi \mathbf{v} \cdot d\Gamma_j + \int_{\Omega_j} c \phi d\Omega = \int_{\Omega_j} Q^\phi d\Omega + \int_{\Gamma_j} \Gamma^\phi \nabla \phi \cdot d\Gamma_j \quad (5)$$

Un forma de discretizar la ecuación (5) es la siguiente:

$$\rho \frac{\phi_c^{n+1} - \phi_c^n}{\Delta t} h + \rho v (\phi_{ld}^{n+\theta} - \phi_{li}^{n+\theta}) + c \phi_c^{n+\theta} h = Q_c^\phi S h + \sum_{f=li,ld} \Gamma^\phi \frac{\phi_e - \phi_c}{h} S - \Gamma^\phi \frac{\phi_c - \phi_w}{h} S \quad (6)$$

### 3.1. Caso 1

Para este caso, se pedía resolver en estado estacionario un problema con los siguientes parámetros:

- $L = 1$ .

- $tiempofinal = 1.$
- $tipotemporal = 3.$
- $deltaT = 1$
- $Q = 0.$
- $Gamma = 1.$
- $v = 1.$
- $rho = 1.$
- $c$  (del termino reactivo)  $= 0.$
- $phi0 = 0.$
- $phi1 = 1.$

La solución analítica a este problema está dada por la siguiente ecuación:

$$y(x) = \frac{(e^x - 1)}{(e - 1)} \quad (7)$$

El error para  $h = [0.2, 0.1, 0.05, 0.025]$  con upwind difference puede observarse en la figura 6. El orden de precisión para este método se estima en 1, es decir de primer orden, ya que el error tiende a cero como  $h$ .

El error para los mismos  $h$  pero esta vez con central difference puede observarse en la figura 7. El orden de precisión para este método se estima en 2, es decir de segundo orden, ya que el error tiende a cero como  $h^2$ .

### 3.2. Caso 2

El mismo problema que el caso anterior, esta vez variando el término  $Gamma$ , en primer lugar a 0.1. En las figuras 8 y 9 observamos los resultados.

Con un  $Gamma = 0.01$  se tuvieron que probar varios valores más de  $h$  para que se notara bien la diferencia entre ámbos métodos, desde  $h = 0.2$  hasta  $h = 1.5625e-3$  dividiendo  $h/2$ . Se observa como el comportamiento de central difference en la figura 10 es lineal hasta  $h=0.1$  y luego el error desciende cuadráticamente. En la figura 11 con upwind difference se observa claramente el descenso lineal del error respecto a  $h$ .

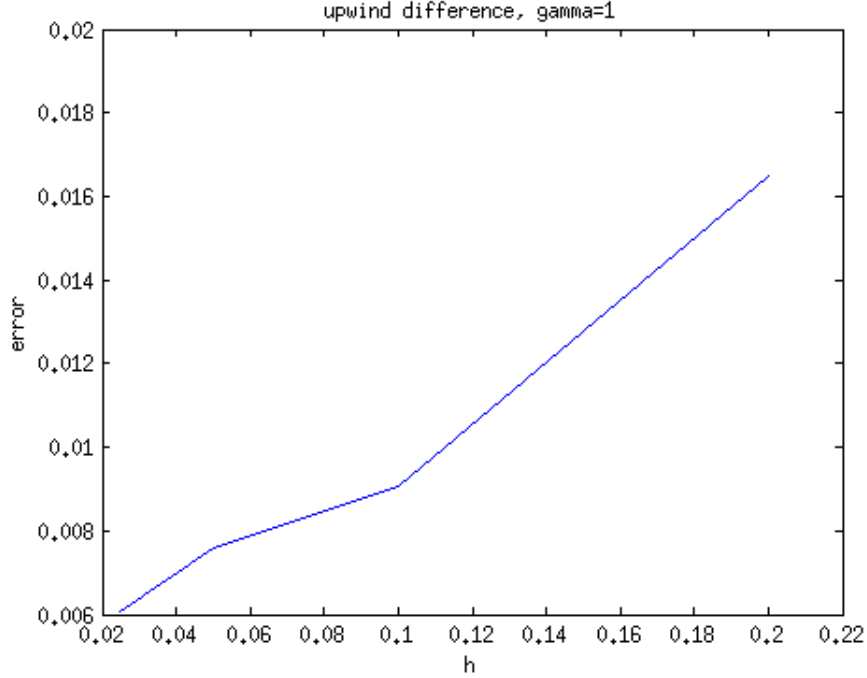


Figura 6: Gráfica del error para el caso 1 con upwind difference

### 3.3. Caso 3

Para este problema, con 20 celdas no se alcanzaba a discretizar bien el gran salto que tiene la función con  $\Gamma=0.01$  entre  $x=[0.9,1]$ , dando resultados totalmente imprecisos. Esto puede observarse en la figura 12.

Sin embargo, con un  $h = 0.005$  y un  $\Delta t = 0.001$  se lograban mejores resultados. Sabemos que la elección de un  $\Delta t$  adecuado es indispensable para asegurar la convergencia de éste método. (*tipotemporal=1*) En la figura 13 se observa la gráfica obtenida con respecto a la solución exacta y en la figura 14 como desciende el error con el paso del tiempo. El número de Courant obtenido en este caso es de 0.2. Como el se cumple que sea menor que la unidad, el sistema explícito es estable.

Para el caso implícito, (*tipotemporal=2*) no modificando ningún parámetro de los anteriores obtenemos el mismo número de Courant. Los resultados son apreciables en las figuras 15 y 16. Aumentando luego del  $\Delta t$  al doble, el número de Courant aumenta consecuentemente al doble y se obtienen los

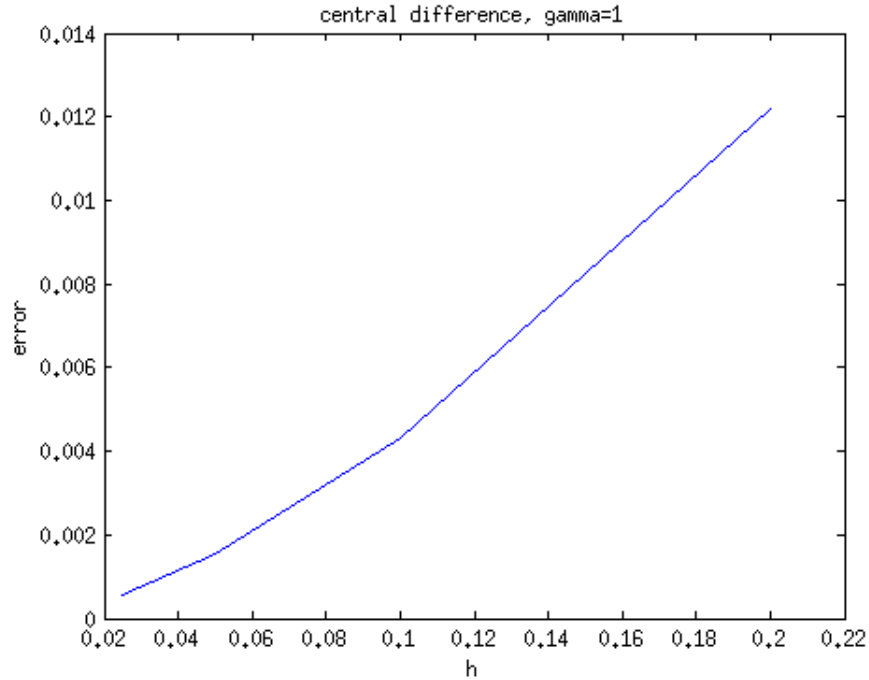


Figura 7: Gráfica del error para el caso 1 con central difference

resultados apreciables en las figuras 17 y 18. Los resultados son similares al caso anterior. El sistema es estable ya que no tiene limitación en el paso del tiempo en el caso lineal.

Para el tercer caso, el método semi-implícito (*tipotemporal*=0) se utiliza nuevamente un  $\Delta t = 0.001$  y un  $h=0.005$  obteniendo así un Courant = 0.2, luego se usa un paso igual al doble del anterior. Los resultados son apreciables en las figuras 19,20,21 y 22.

## 4. Código utilizado

A continuación se presenta el código utilizado para resolver el problema 1 y 3, escrito en el software Matlab.

```

1 function [err , hvs] = TP2MC_Ej3_nuevo ( )
2
3 %% Variables iniciales

```

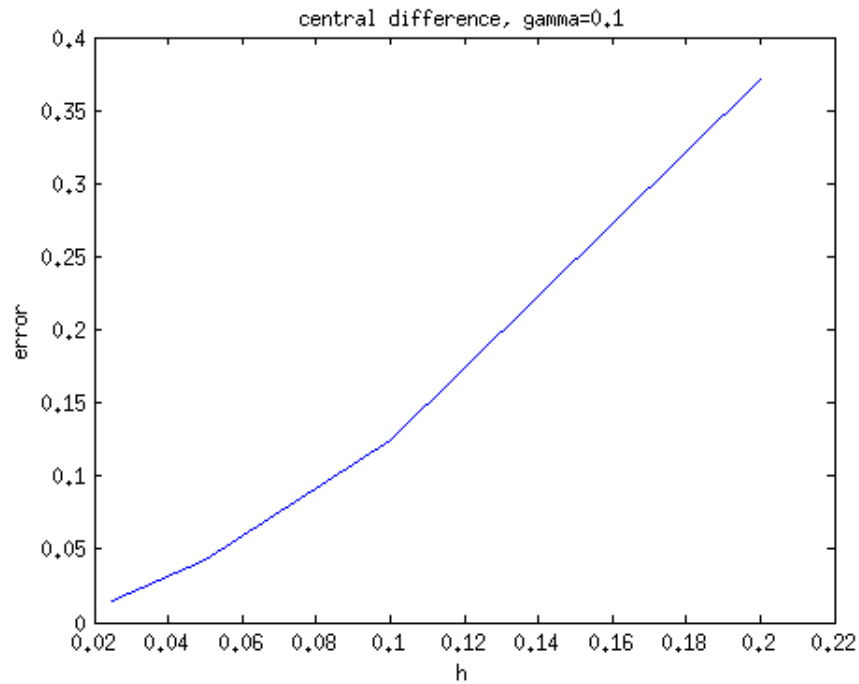


Figura 8: Gráfica del error para el caso 2, Gamma = 0.1 con upwind difference

```

4 | h=0.005;
5 | L = 1;
6 | x = 0:h:L;
7 | cant_celdas = length(x) - 1;
8 |
9 | deltaT = 0.002;
10 | tiempofinal = 1.5;
11 | t = 0:deltaT:tiempofinal;
12 | e = exp(1);
13 |
14 | cant_tiempos = length(t);
15 | hv = zeros(cant_celdas,1)+h;
16 | Q = zeros(cant_celdas,1)+0;
17 |
18 | tipotemporal = 0; %% Tipo de metodo de discretizacion temporal:
    | 0-semi-explicito , 1-explicito , 2-implicito , 3-ninguno (
    | estacionario)
19 |
20 | % Terminio convectivo
21 | v = 1;

```



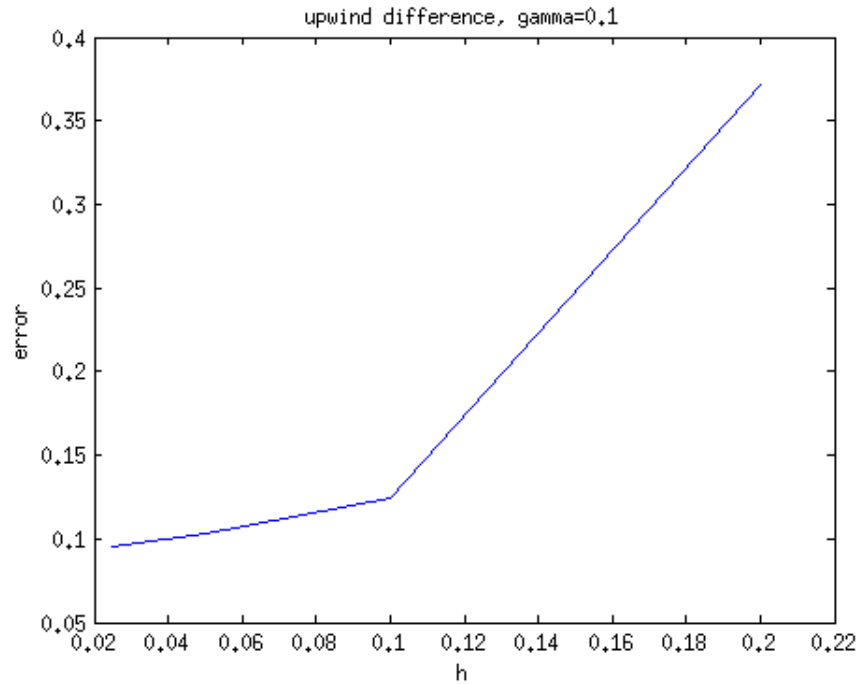


Figura 9: Gráfica del error para el caso 2, Gamma = 0.1 con central difference

```

22 rho = 1;
23 upwind = true;
24 if (upwind)
25     if (v>0)
26         alfa = 1;
27         beta = 0;
28     else
29         alfa = 0;
30         beta = 1;
31     end
32 end
33
34 %Termino reactivo
35 c = 0;
36
37 %Termino difusivo
38 Gamma = 0.01;
39
40 %Cond de borde
41 phi0 = 0; % izquierda

```

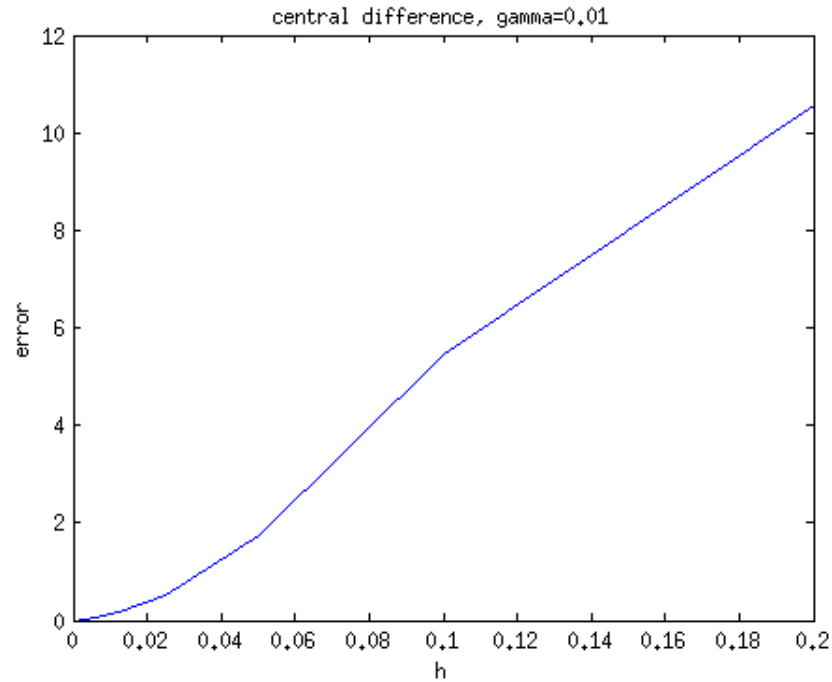


Figura 10: Gráfica del error para el caso 2, Gamma = 0.01 con central difference

```

42 | phil = 1; % derecha
43 |
44 | gamabi = 1;
45 | gamabd = 1;
46 | hinf = 10;
47 |
48 | cond = [0 0]; %0-dirichlet , 1-neumann, 2-mixta
49 |
50 | %% Inicializaciones de estructuras
51 |
52 | K = zeros(cant_celdas , cant_celdas);
53 | F = zeros(cant_celdas ,1);
54 | left = true;
55 |
56 | a = zeros(cant_celdas);
57 | a(:,1) = 1;
58 |
59 | Courant = ((deltaT*v) / h);
60 | disp(['Numero de Courant: ' num2str(Courant)]);

```

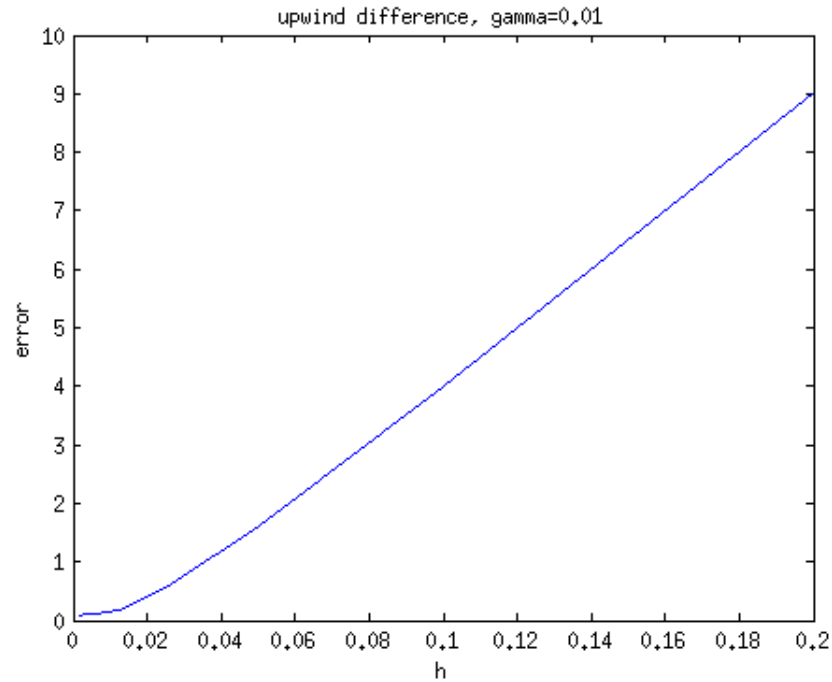


Figura 11: Gráfica del error para el caso 2, Gamma = 0.01 con upwind difference

```

61 Peclet = ((h*v) / Gamma);
62 disp(['Numero de Peclet: ' num2str(Peclet)]);
63
64 %yms phi_left phi_cent phi_right;
65
66 %% Loop principal
67
68 for i=1:cant_celdas %cada celda
69
70     for j=i:i+1 %cada cara
71
72         if (j == 1) %primer cara
73             %No hago nada
74             left = false;
75
76         else
77             if (j == cant_celdas+1) %ultima cara
78                 %No hago nada
79

```

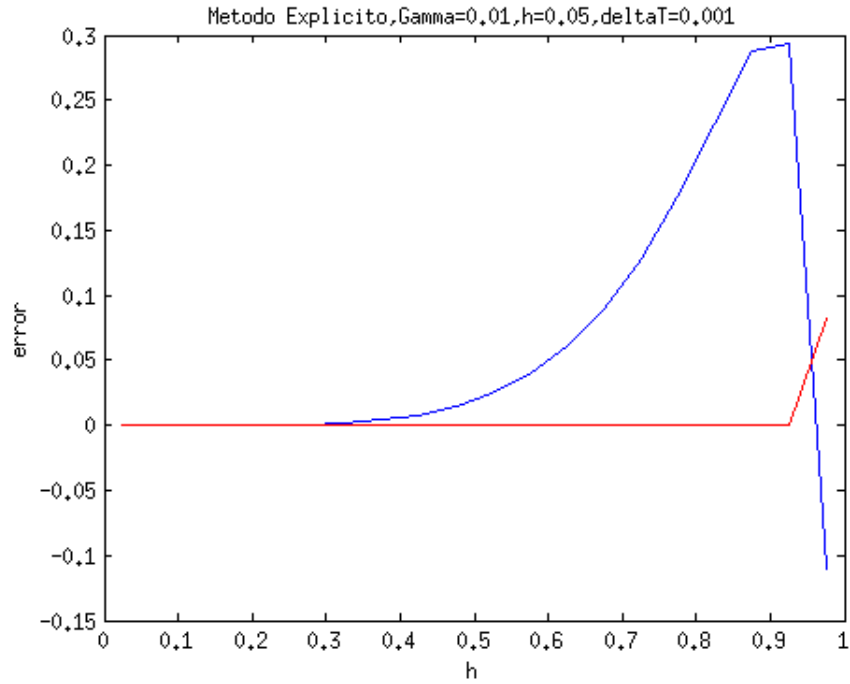


Figura 12: Método explícito,  $h=0.05$

```

80     else
81         if ( left )
82             %Eq = Eq + (-1 * Gamma * (1/h) * (phi_left -
83                 phi_cent));
84             gf = hv(i)/(x(i+1) - x(i-1));
85             Gammat = Gamma*(1-gf) + Gamma*gf;
86             phili = rho*v;
87
88             if (upwind)
89                 K(i,j-1) = K(i,j-1) - alfa*phili;
90                 K(i,j) = K(i,j) - beta*phili;
91             else
92                 K(i,j) = K(i,j) - (1-gf)*rho*v;
93                 K(i,j-1) = K(i,j-1) - (gf*rho*v);
94             end
95
96             K(i,j) = K(i,j) + (Gammat * (1/hv(i)));
97             K(i,j-1) = K(i,j-1) - (Gammat * (1/hv(i)));
98

```

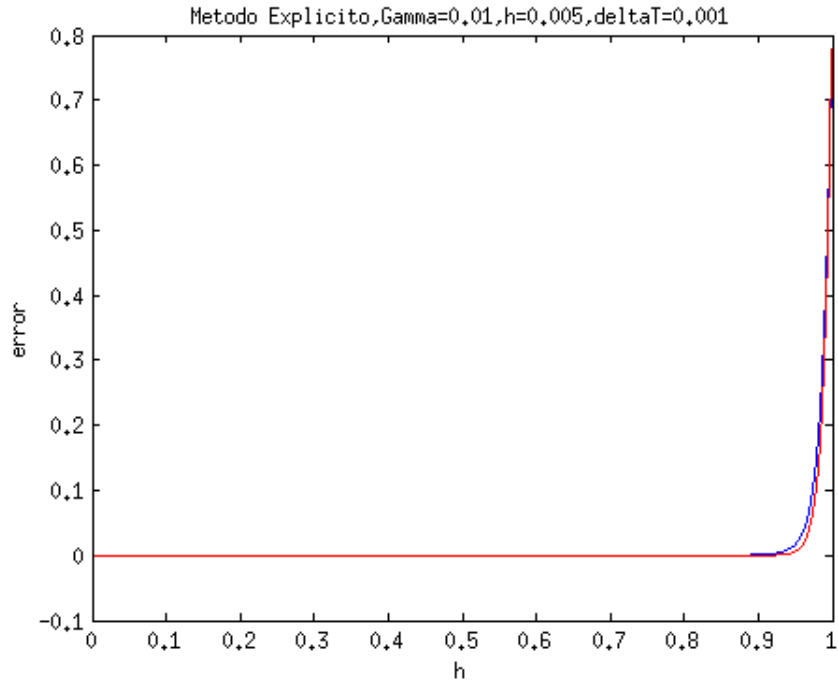


Figura 13: Método explícito,  $h=0.005$ ,  $\Delta T = 0.001$

```

99         left = false;
100     else
101         if (~left)
102             %Eq = Eq + (Gamma * (1/h) * (phi_right -
103                 phi_cent));
104             gf = hv(i)/(x(i+2) - x(i));
105             Gamma1 = Gamma*(1-gf) + Gamma*gf;
106             phild = rho*v;
107
108             if (upwind)
109                 K(i,j) = K(i,j) + beta*phild;
110                 K(i,j-1) = K(i,j-1) + alfa*phild;
111             else
112                 K(i,j) = K(i,j) + (gf*rho*v);
113                 K(i,j-1) = K(i,j-1) + (1-gf)*rho*v;
114             end
115             K(i,j) = K(i,j) - Gamma1 * (1/hv(i));
116             K(i,j-1) = K(i,j-1) + (Gamma1 * (1/hv(i)
117                 ));

```

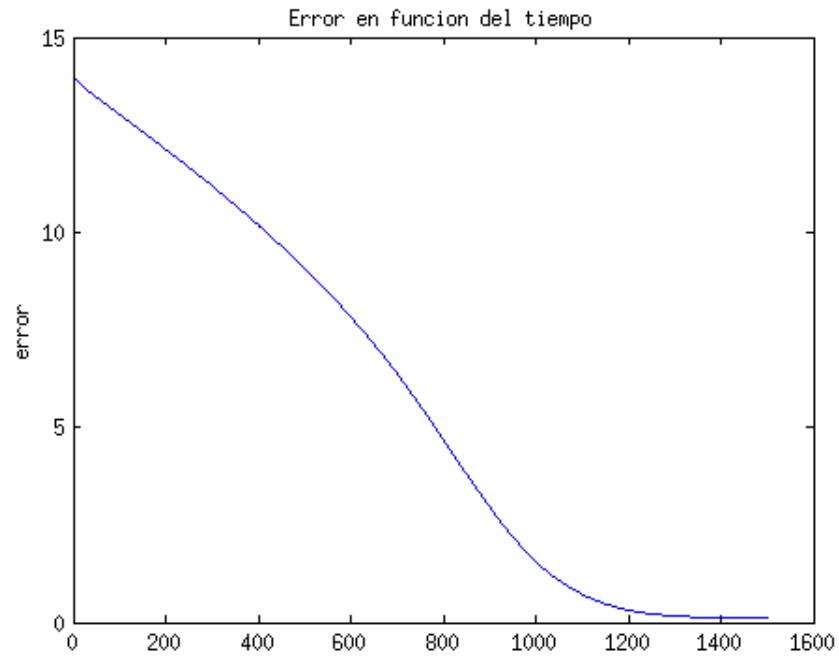


Figura 14: Método explícito,  $h=0.005$ ,  $\Delta T = 0.001$ , error en función del tiempo

```

117
118                                     left = true;
119                                     end
120                                 end
121                            end
122                        end
123
124                    end
125                    K(i,i)= K(i,i) + c*hv(i);
126                    F(i) = F(i) + Q(i)*hv(i);
127
128                end
129
130                %% Cond de contorno
131
132                h1 = hv(1)/2; %h de la primer celda
133                hf = hv(cant_celdas)/2; %h de la ultima celda
134
135                %%Dirichlet

```

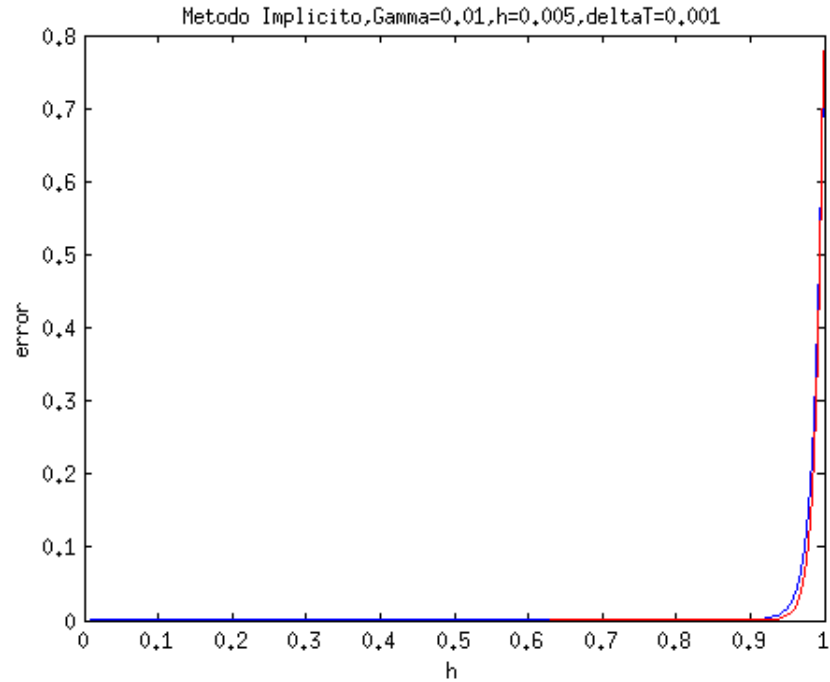


Figura 15: Método implícito,  $h=0.005$ ,  $\Delta T = 0.001$

```

136 if (cond(1) == 0)
137     %termino difusivo
138     K(1,1) = K(1,1) + Gamma/h1;
139     F(1) = F(1) + (Gamma*phi0)/h1;
140     %termino convectivo
141     F(1) = F(1) + rho*v*phi0;
142 end
143 if (cond(2) == 0)
144     %termino difusivo
145     K(cant_celdas, cant_celdas) = K(cant_celdas, cant_celdas) +
        Gamma/hf;
146     F(cant_celdas) = F(cant_celdas) + (Gamma*phi1)/hf;
147     %termino convectivo
148     F(cant_celdas) = F(cant_celdas) - rho*v*phi1;
149 end
150
151 %Neumann
152 if (cond(1) == 1)
153     %termino difusivo
154     F(1) = F(1) - phi0;

```

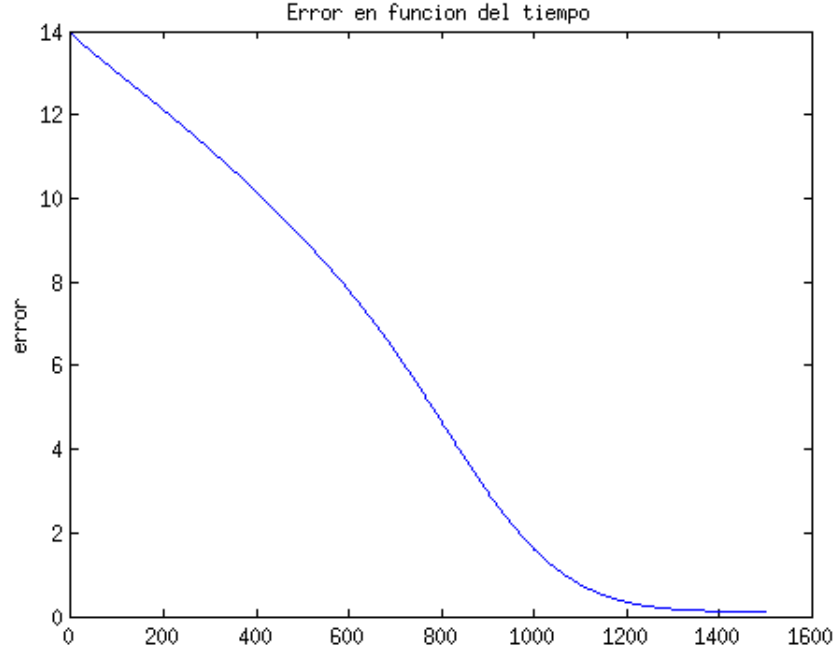


Figura 16: Método implícito,  $h=0.005$ ,  $\Delta T = 0.001$ , error en función del tiempo

```

155     %termino convectivo
156     K(1,1) = K(1,1) - rho*v;
157     F(1) = F(1) + rho*v*phi0*h1;
158 end
159 if (cond(2) == 1)
160     %termino difusivo
161     F(cant_celdas) = F(cant_celdas) + phi1;
162     %termino convectivo
163     K(cant_celdas, cant_celdas) = K(cant_celdas, cant_celdas) +
        rho*v;
164     F(cant_celdas) = F(cant_celdas) - rho*v*phi1*hf;
165 end
166
167 %Mixtas
168
169 if (cond(1) == 2)
170     aux = (hinf*(gamabi/h1))/(hinf+(gamabi/h1));
171     convecinf = (hinf*h1)/(gamabi+h1 * hinf);
172     convecC = gamabi / (gamabi+h1 * hinf);

```



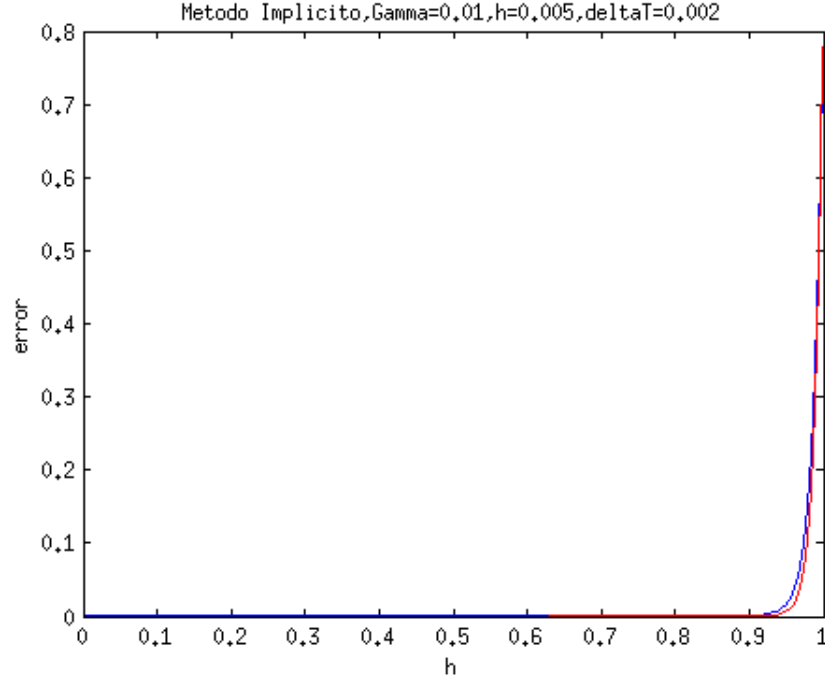


Figura 17: Método implícito,  $h=0.005$ ,  $\Delta T = 0.002$

```

173     %termino difusivo
174     F(1) = F(1) + aux*phi0;
175     K(1,1) = K(1,1) + aux;
176     %termino convectivo
177     K(1,1) = K(1,1) - convecC*rho*v;
178     F(1) = F(1) - (convecinf*phi0)*rho*v;
179 end
180
181 if (cond(2) == 2)
182     aux = (hinf*(gamabd/hf))/(hinf+(gamabd/hf));
183     convecinf = (hinf*hf)/(gamabd+hf * hinf);
184     convecC = gamabd / (gamabd+hf * hinf);
185     %termino difusivo
186     F(cant_celdas) = F(cant_celdas) + aux*phi1;
187     K(cant_celdas, cant_celdas) = K(cant_celdas, cant_celdas) +
        aux;
188     %termino convectivo
189     K(cant_celdas, cant_celdas) = K(cant_celdas, cant_celdas) +
        convecC*rho*v;
190     F(cant_celdas) = F(cant_celdas) + (convecinf*phi1)*rho*v;

```

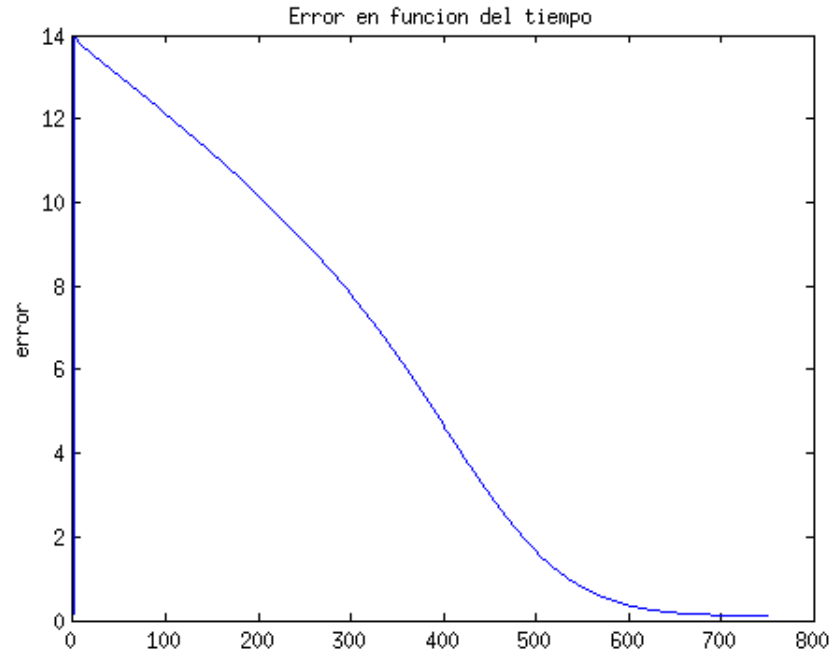


Figura 18: Método implícito,  $h=0.005$ ,  $\Delta T = 0.002$ , error en función del tiempo

```

191 end
192
193 %% Calculo de los centroides
194
195 for i=1:cant_celdas
196     xmid(i)= x(i)+(x(i+1)-x(i))/2;
197 end
198
199 %% Metodo temporal
200 if (tipotemporal == 0) %semi explicito
201
202     terminotemporal = (rho.*hv)./deltaT;
203     K0(:, :) = K(:, :)/2;
204     Kn(:, :) = K0(:, :);
205
206     for i=1:cant_celdas
207         Kn(i, i) = Kn(i, i) + terminotemporal(i);
208         K0(i, i) = K0(i, i) - terminotemporal(i);
209     end

```

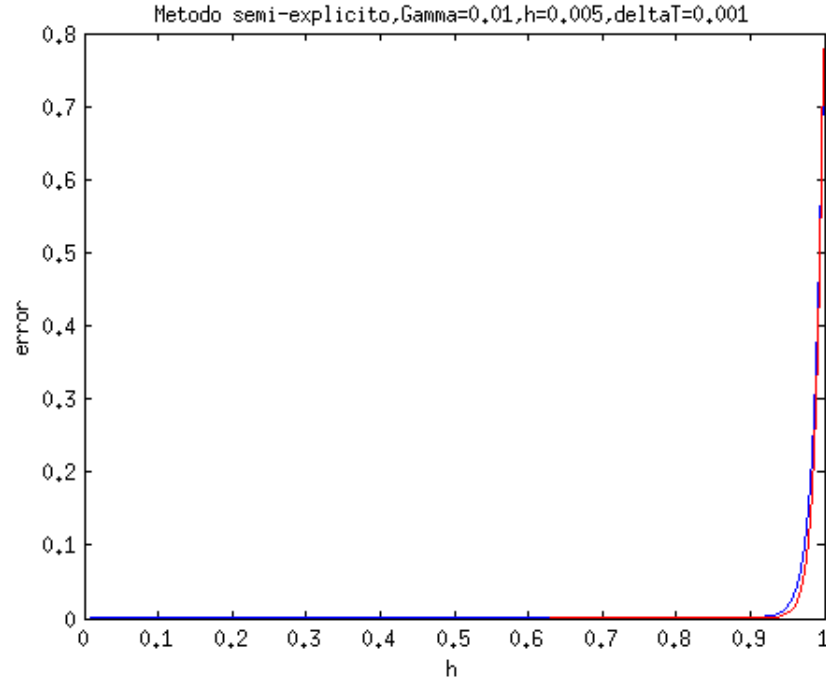


Figura 19: Método semi-explicito,  $h=0.005$ ,  $\delta T = 0.001$

```

210
211 for time=2:cant_tiempos
212     a(:,time) = Kn(:, :) \ (F(:) - (K0(:, :) * a(:, time-1)));
213
214     err(time) = norm((a(:,time) - exact'));
215 end
216
217 else if (tipotemporal == 1) %explicito
218     Faux = zeros(cant_celdas,1);
219     for i = 1:cant_celdas
220         Kaux(i,:) = -(deltaT/(rho*hv(i)))*K(i,:);
221         Faux(i) = (deltaT/(rho*hv(i)))*F(i);
222         Kaux(i,i) = Kaux(i,i)+1;
223     end
224
225     for time=2:cant_tiempos
226         a(:,time) = Kaux*a(:,time-1) + Faux;
227
228         err(time) = norm((a(:,time) - exact'));
229     end

```

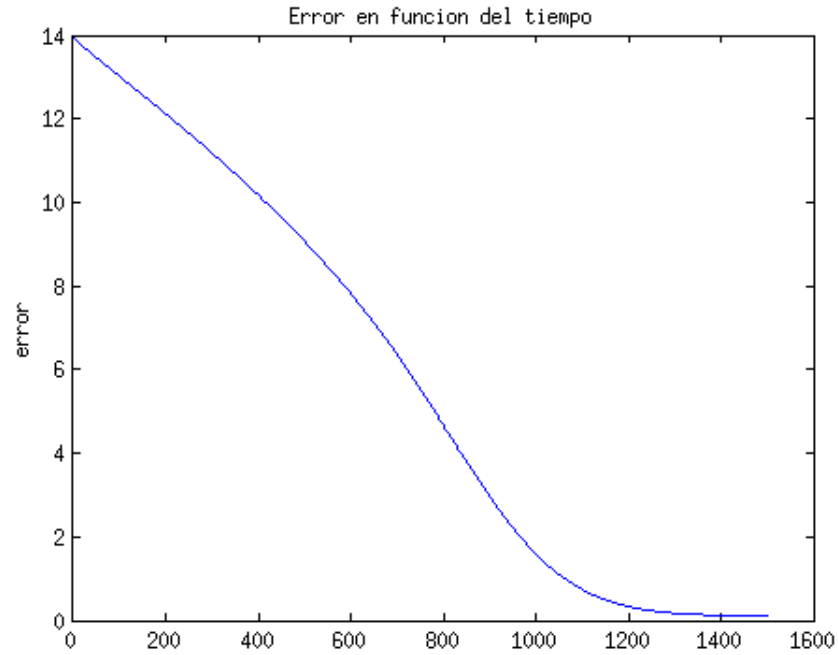


Figura 20: Método semi-explicito,  $h=0.005$ ,  $\Delta T = 0.001$ , error en función del tiempo

```

230
231     else if (tipotemporal == 2) %implicito
232         terminotemporal = (rho.*hv)./deltaT;
233         Kaux = K;
234         for i = 1:cant_celdas
235             Kaux(i,i) = K(i,i) + terminotemporal(i);
236         end
237         Faux = F;
238
239         for time=2:cant_tiempos
240             Faux = F + a(:,time-1).*terminotemporal;
241
242             a(:,time) = Kaux\Faux;
243
244             err(time) = norm((a(:,time) - exact'));
245         end
246
247     else
248         a(:,1) = K\F;

```

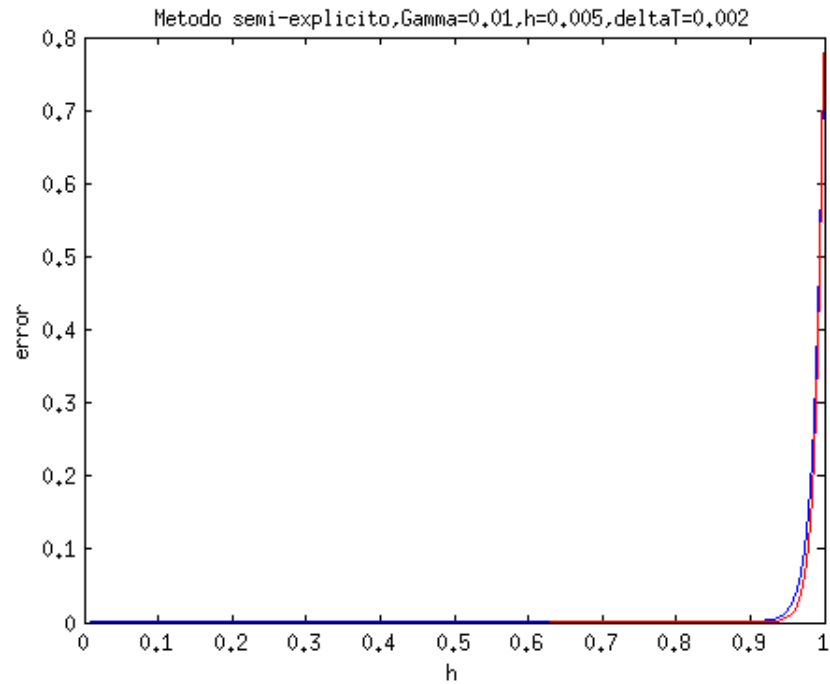


Figura 21: Método semi-implícito,  $h=0.005$ ,  $\Delta t = 0.002$

```

249         err(1) = norm((a(:,1) - exact'));
250     end
251 end
252 end
253
254 %end
255
256 figure;
257 for i=1:cant_tiempos-1
258     title(i*deltaT);
259     pause(0.001);
260     plot(xmid, a(:, i));
261 end
262 hold on;
263 plot(xmid, exact, 'r');

```

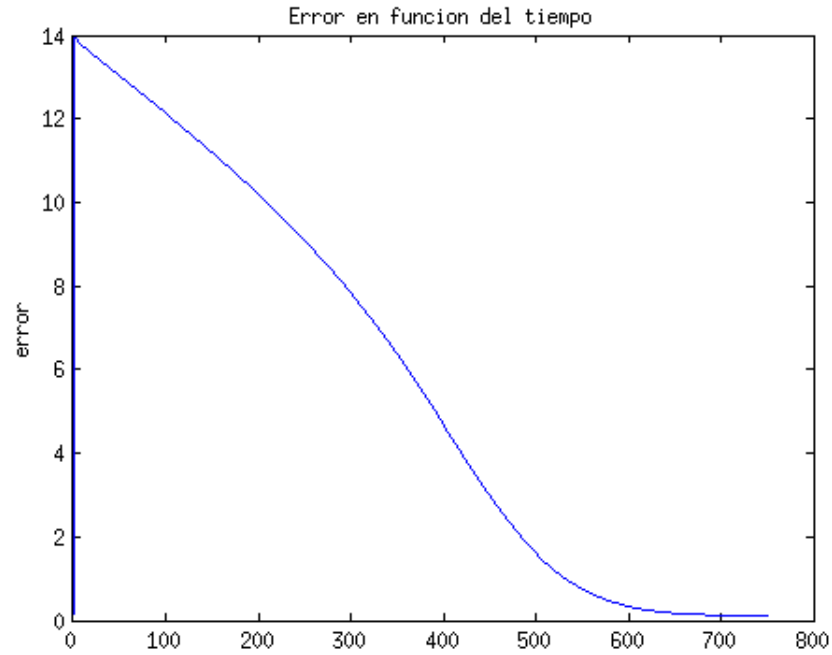


Figura 22: Método semi-implícito,  $h=0.005$ ,  $\Delta t = 0.002$ , error en función del tiempo

## 5. Difusión con fuente en 1D estacionaria en OpenFOAM

Para resolver este problema, primero generaremos la malla modificando el archivo *blockMeshDict* del tutorial *PitzDaily* de *scalarTransportFoam* de la siguiente manera:

```

1 vertices
2 (
3     (0 -0.1 -0.1)
4     (1 -0.1 -0.1)
5     (1 0.1 -0.1)
6     (0 0.1 -0.1)
7     (0 -0.1 0.1)
8     (1 -0.1 0.1)
9     (1 0.1 0.1)
10    (0 0.1 0.1)

```

```

11 );
12
13 blocks
14 (
15     hex (0 1 2 3 4 5 6 7) (50 1 1) simpleGrading (1 1 1)
16 );
17
18 edges
19 (
20 );
21
22 boundary
23 (
24     side1
25     {
26         type patch;
27         faces
28         (
29             (0 4 7 3)
30         );
31     }
32     side2
33     {
34         type patch;
35         faces
36         (
37             (1 2 6 5)
38         );
39     }
40     empty
41     {
42         type empty;
43         faces
44         (
45             (0 1 5 4)
46             (5 6 7 4)
47             (3 7 6 2)
48             (0 3 2 1)
49         );
50     }
51 );

```

Para setear el Gamma en 0.1, el archivo *transportProperties* es modificado. Para un  $h=0.02$  y  $\Delta T=0.001$  con upwind-difference se obtiene algo como se observa en las figuras 23 y 24. Para central-difference los resultados se observan en la figura 25.

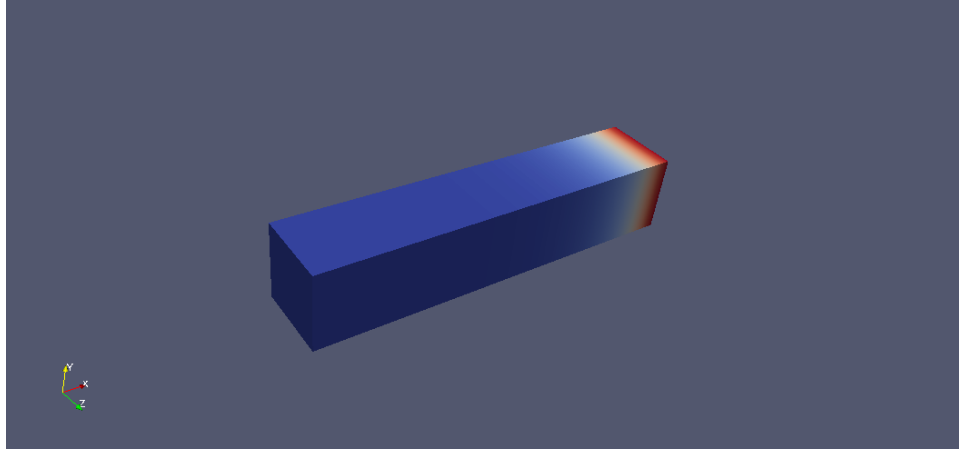


Figura 23: Screenshot del problema con upwind-difference y Gamma 0.1

De la misma manera, para un  $\text{Gamma}=0.01$  se siguen los mismos pasos y se obtiene con upwind-difference los resultados de las figuras 26 y 27 y para CD los resultados de la imagen 28.

Si refinamos la malla hacia el lado de  $x=1$  usando Grading, modificamos la línea correspondiente en *blockMeshDict* para hacer un grading de 50 en el eje x:

```

1 blocks
2 (
3     hex (0 1 2 3 4 5 6 7) (50 1 1) simpleGrading (50 1 1)
4 );

```

Los resultados se observan en las figuras 29,30,31,32 y 33. En estas gráficas se observa como al estar mejor discretizada la última porción de la malla donde se distribuye la temperatura, el salto de temperatura que se produce en casos con el  $\text{Gamma}=0.01$  se distribuye mejor en la gráfica y no se ve tan abrupto.

## 6. Adveccion-Difusión en 2D transiente con Open-FOAM con velocidad constante

Para generar el dominio se modificó el archivo *blockMeshDict* de la siguiente forma:



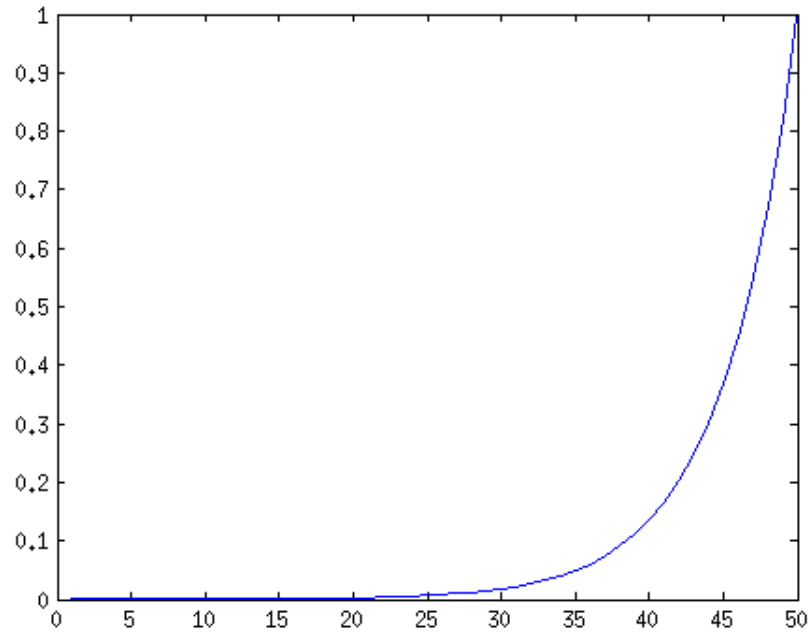


Figura 24: Gráfica de la temperatura final con upwind-difference y Gamma 0.1

```

1  vertices
2  (
3      (0 0 0)
4      (1 0 0)
5      (1 1 0)
6      (0 1 0)
7      (0 0 0.1)
8      (1 0 0.1)
9      (1 1 0.1)
10     (0 1 0.1)
11 );
12
13 blocks
14 (
15     hex (0 1 2 3 4 5 6 7) (40 40 1) simpleGrading (1 1 1)
16 );
17
18 edges

```

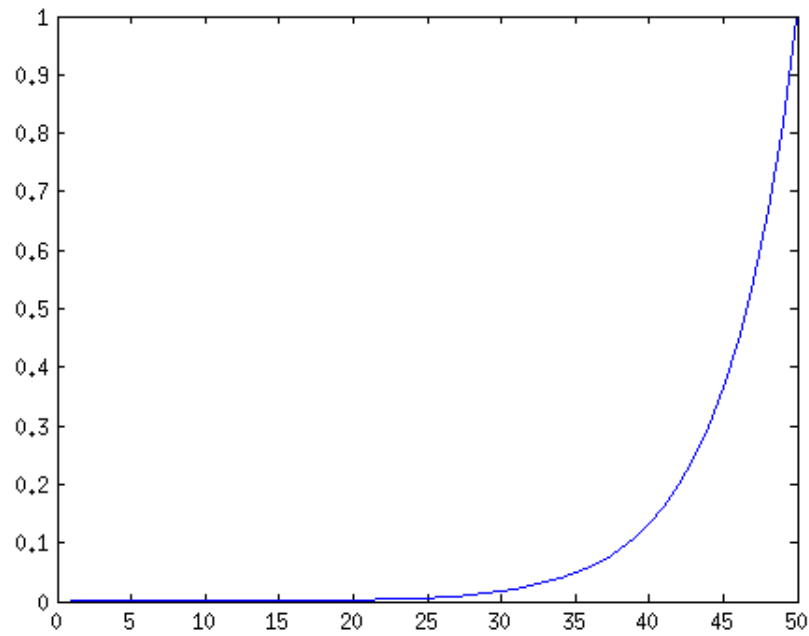


Figura 25: Gráfica de la temperatura final con central-difference y Gamma 0.1

```

19 (
20 );
21
22 boundary
23 (
24     caraarriba
25     {
26         type wall;
27         faces
28         (
29             (3 7 6 2)
30         );
31     }
32     caraizq
33     {
34         type wall;
35         faces
36         (
37             (0 4 7 3)

```

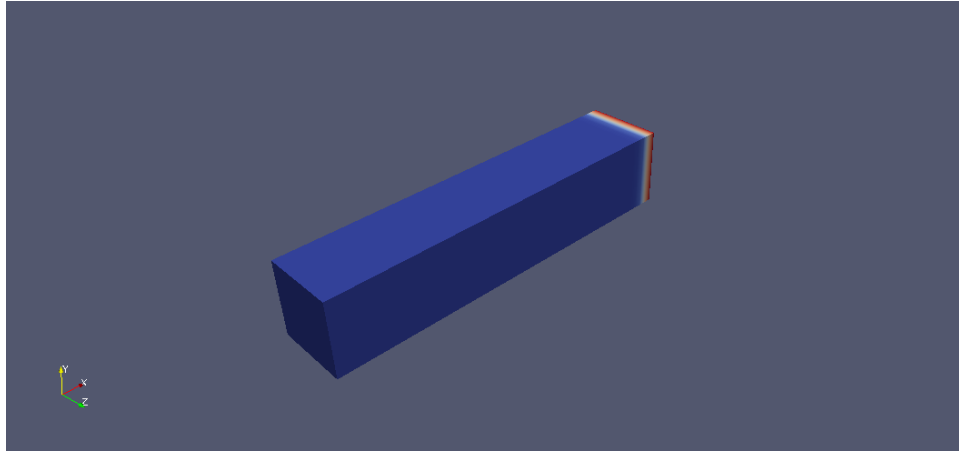


Figura 26: Screenshot del problema con upwind-difference y Gamma 0.01

```

38     );
39 }
40 carader
41 {
42     type wall;
43     faces
44     (
45         (2 6 5 1)
46     );
47 }
48 caraabajo
49 {
50     type wall;
51     faces
52     (
53         (1 5 4 0)
54     );
55 }
56 frontAndBack
57 {
58     type empty;
59     faces
60     (
61         (0 3 2 1)
62         (4 5 6 7)
63     );
64 }
65 );

```

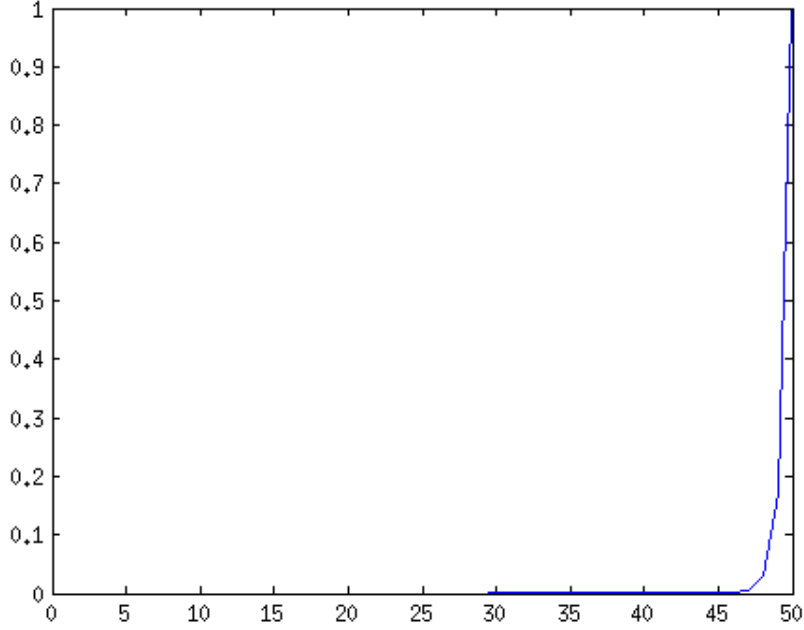


Figura 27: Gráfica de la temperatura final con upwind-difference y Gamma 0.01

Luego de setear las temperaturas y la velocidades correspondientes en la carpeta 0 y  $\Gamma$  en la carpeta *Constant* los resultados obtenidos fueron los siguientes (Figuras 34,35,36 y 37). Al ser Gamma tan pequeño, la temperatura no llega a distribuirse de manera completa en todo el dominio. Si aumentamos Gamma a 1, observamos un transporte de temperatura mas distribuido como se observa en la figura 38.

## 7. Adveccion-Difusión en 2D transiente con Open-FOAM con velocidad variable en el espacio

En primer lugar, para lograr el número de Reynolds pedido la viscosidad cinemática debe ser seteada en 0.0025, en el archivo *transportProperties*. Una vez convergido el campo de velocidades, se obtiene lo que se observa en la figura 39.

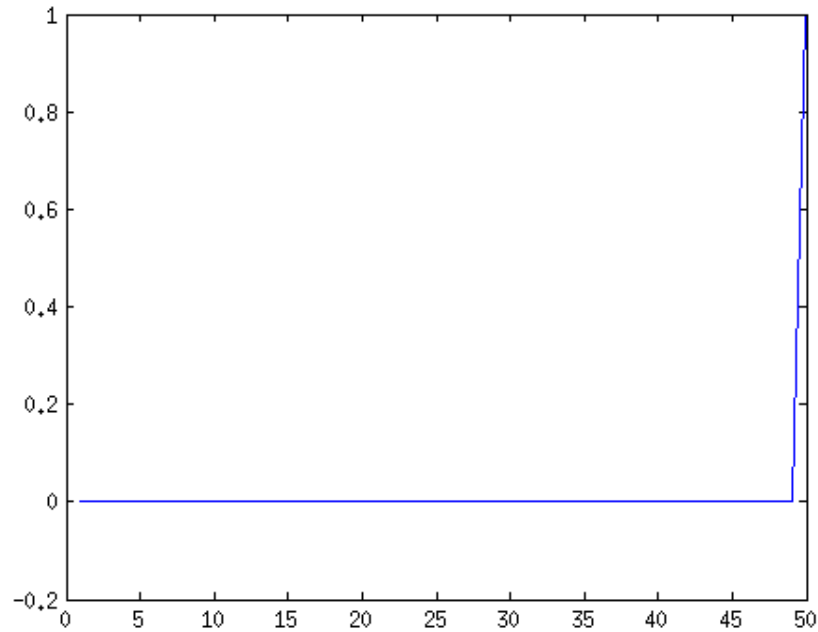


Figura 28: Gráfica de la temperatura final con central-difference y Gamma 0.01

Con este campo de velocidades, debemos armar un caso que resuelva el transporte de la temperatura usando el campo de velocidades hallado. Para ello, en nuestro nuevo caso debemos modificar el archivo U de la carpeta 0, y setear nuestro campo de velocidades encontrado como el campo interno de velocidades del nuevo caso. Para setear las temperaturas se modificó el archivo T en la carpeta 0 de la siguiente forma:

```

1 internalField    uniform 0;
2
3 boundaryField
4 {
5     carasuperior
6     {
7         type      fixedGradient;
8         gradient   uniform 100;
9     }
10    lateralizquierda
11    {

```

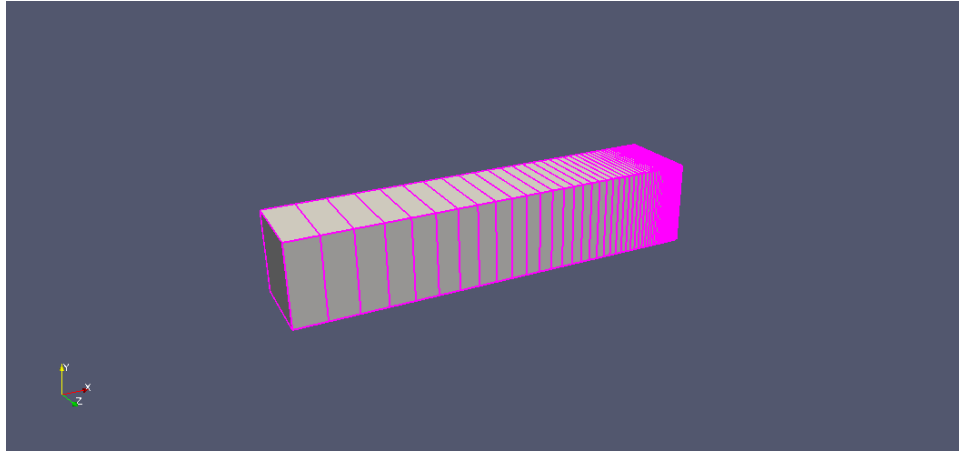


Figura 29: Malla refinada hacia el extremo  $x=L$ .

```

12         type          fixedValue;
13         value          uniform 100;
14     }
15     lateralderecha
16     {
17         type          fixedValue;
18         value          uniform 200;
19     }
20     carainferior
21     {
22         type          zeroGradient;
23     }
24     frontAndBack
25     {
26         type empty;
27     }
28 }

```

El campo de temperatura obtenido puede observarse en la figura 40. Distintas isothermas del mismo pueden verse en la figura 41. Aquí observamos como las isothermas son rectas en la pared inferior adiabática y la temperatura superior se halla en el extremo superior derecho, dado que el campo de velocidades la transporta hacia ese extremo.

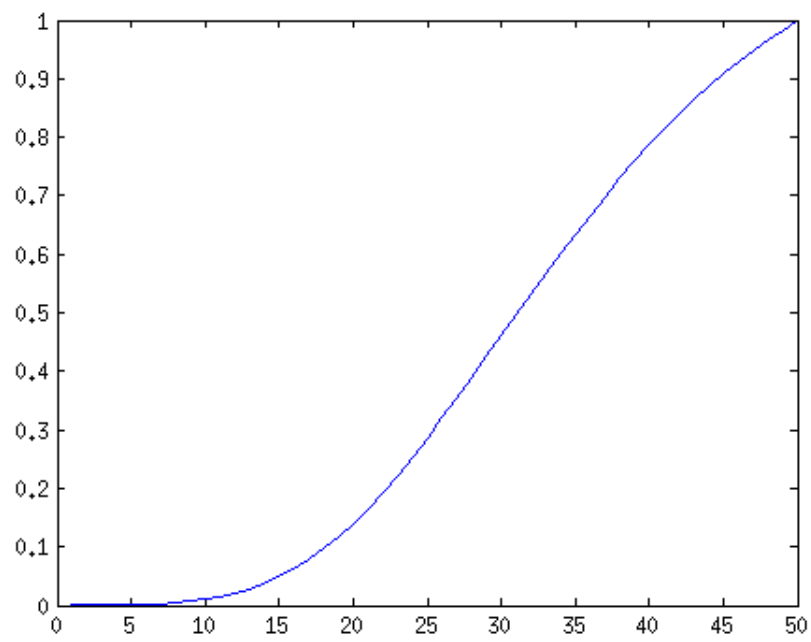


Figura 30: Malla refinada hacia el extremo  $x=L$ , gráfica de la temperatura final con upwind-difference y Gamma 0.1

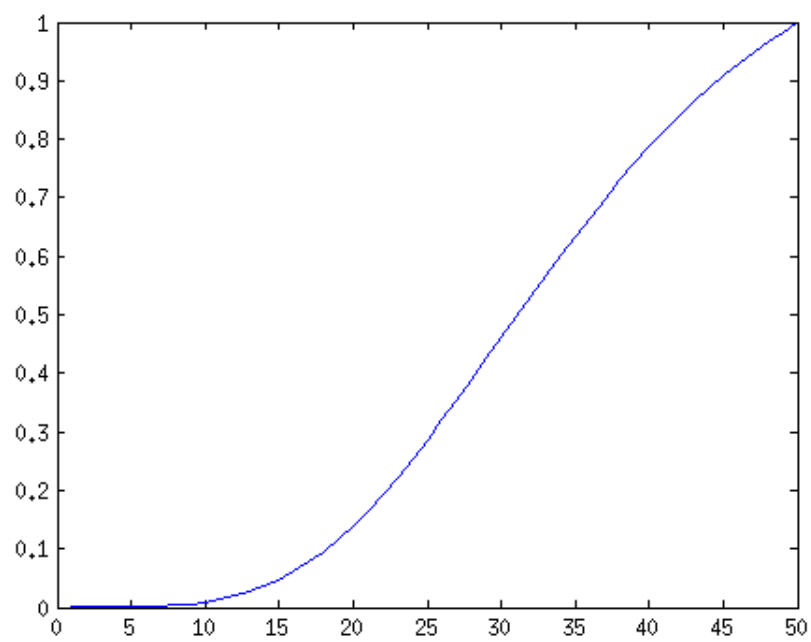


Figura 31: Malla refinada hacia el extremo  $x=L$ , gráfica de la temperatura final con central-difference y Gamma 0.1



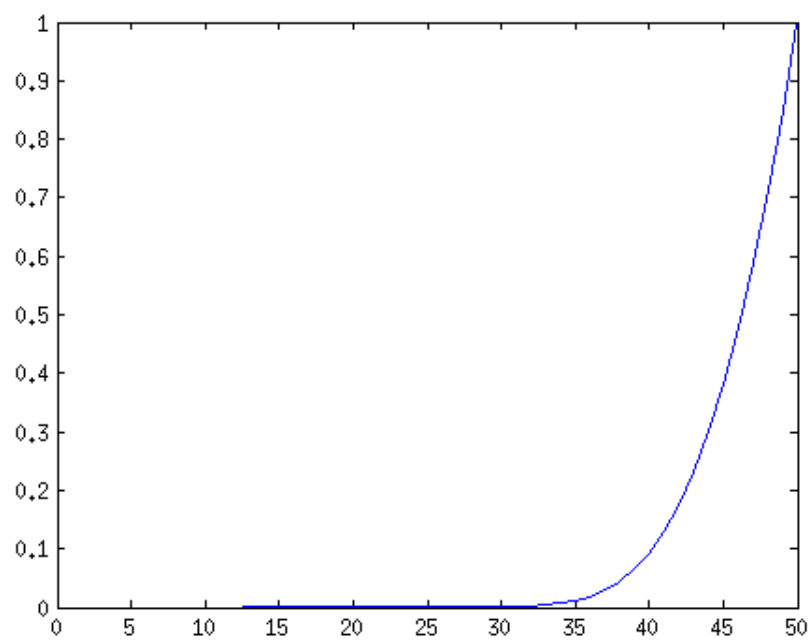


Figura 32: Malla refinada hacia el extremo  $x=L$ , gráfica de la temperatura final con upwind-difference y Gamma 0.01

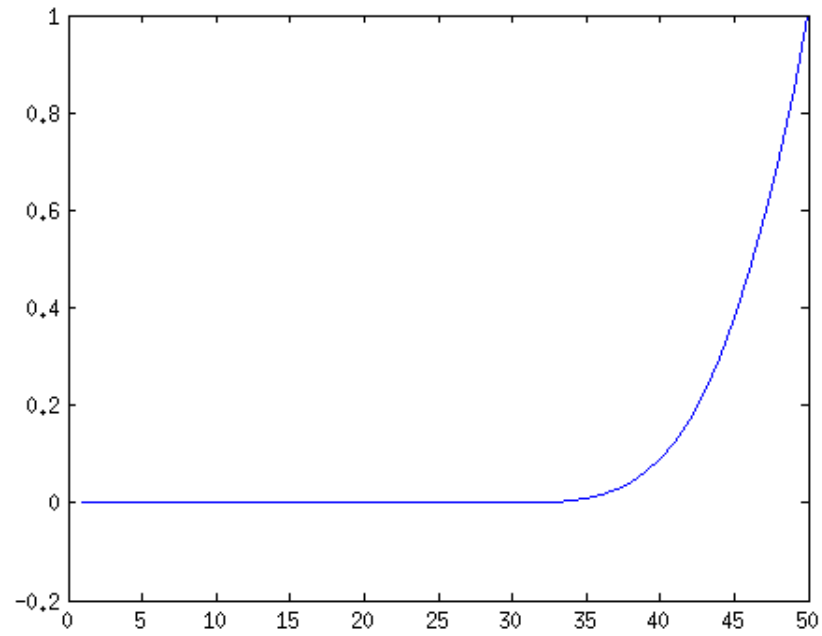


Figura 33: Malla refinada hacia el extremo  $x=L$ , gráfica de la temperatura final con central-difference y Gamma 0.01

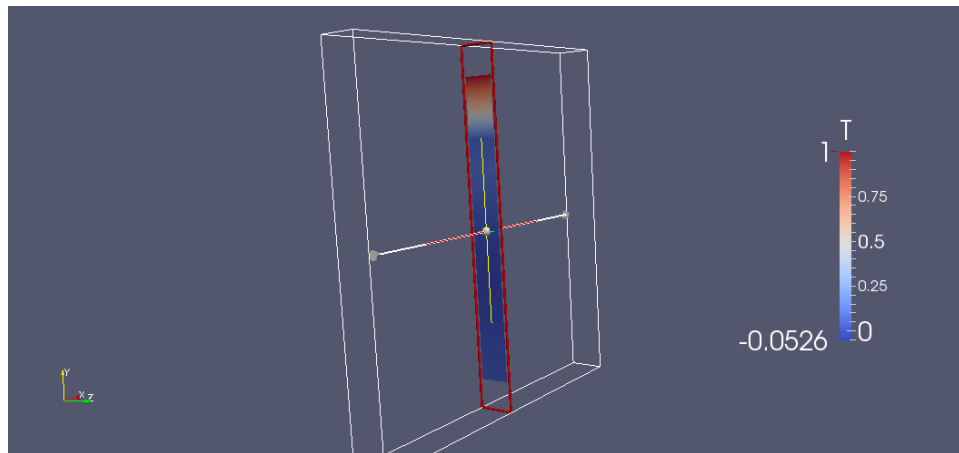


Figura 34: Corte de la solución en  $x = 1/2$ ,  $N=40$

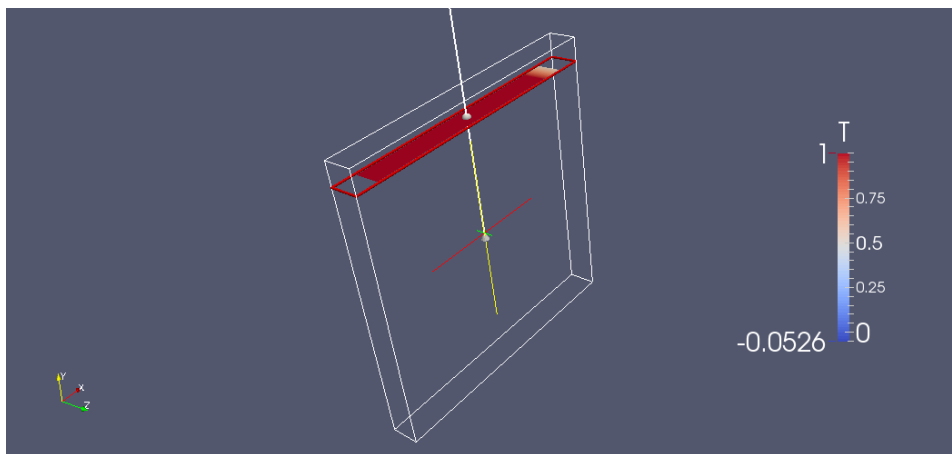


Figura 35: Corte de la solución en  $y = 1$ ,  $N=40$

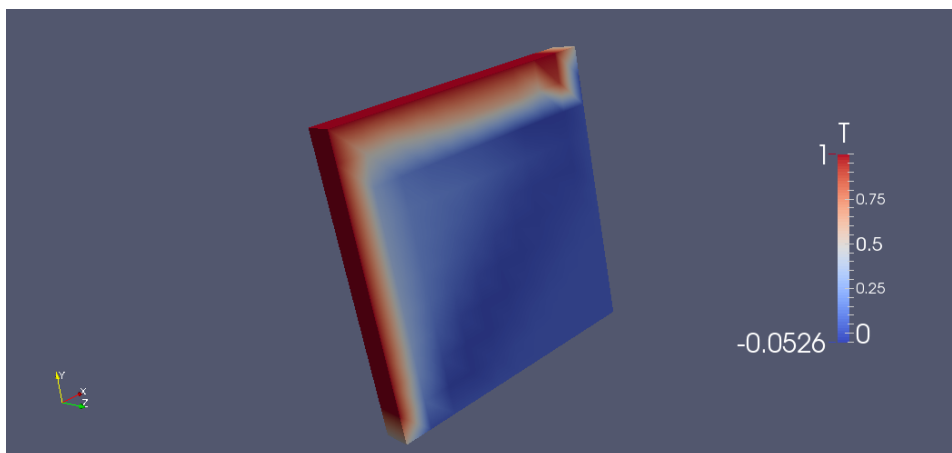


Figura 36: Función  $\phi$  en todo el dominio,  $N=40$

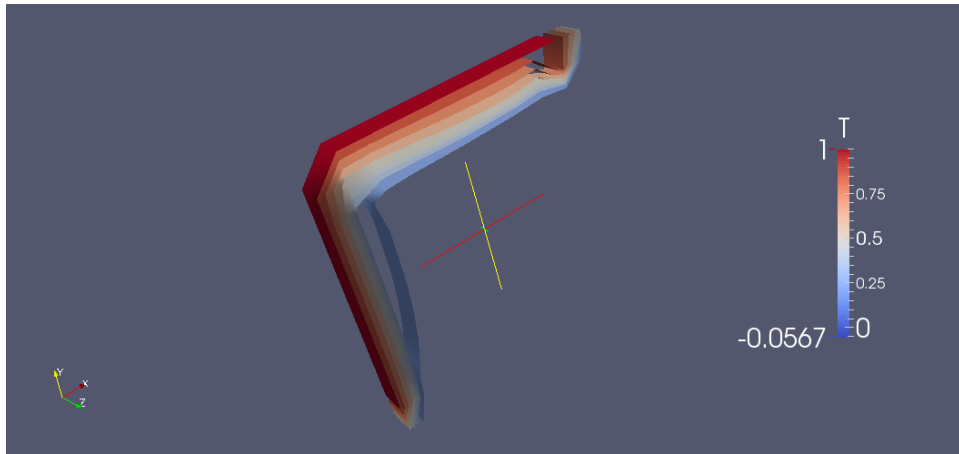


Figura 37: Distintas isothermas de la función  $\phi$ ,  $N=40$

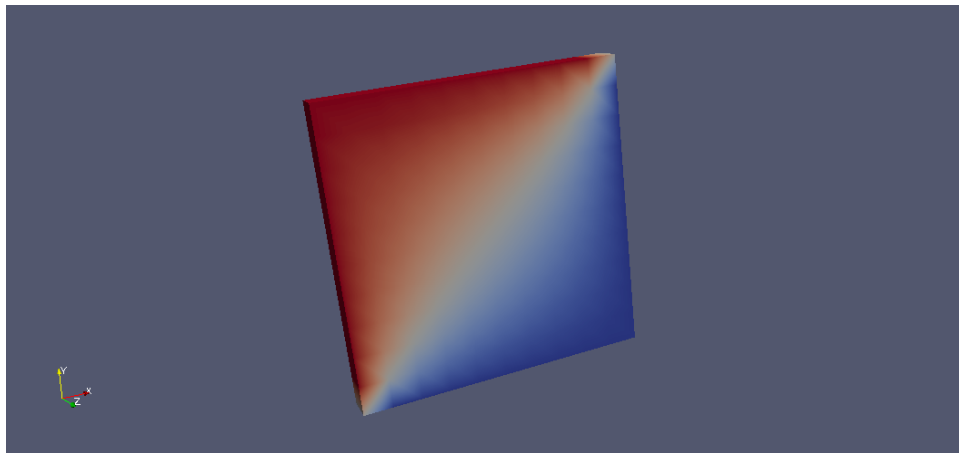


Figura 38: Función  $\phi$  en todo el dominio con  $\Gamma=1$ ,  $N=40$

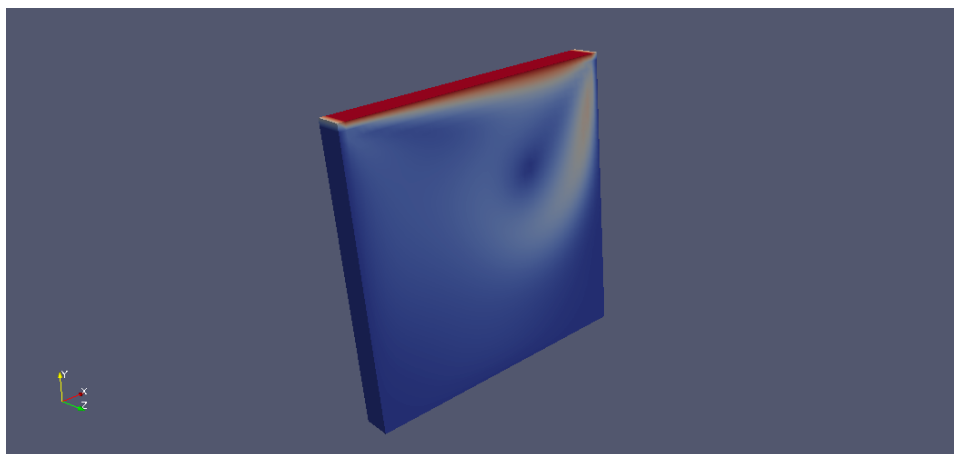


Figura 39: Campo de velocidades obtenido con la solución convergida

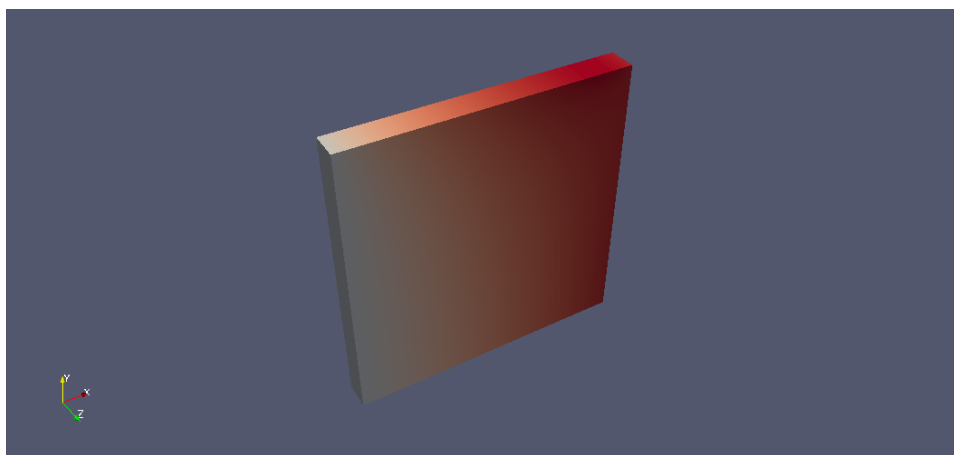


Figura 40: Screenshot del campo de temperaturas distribuido obtenido

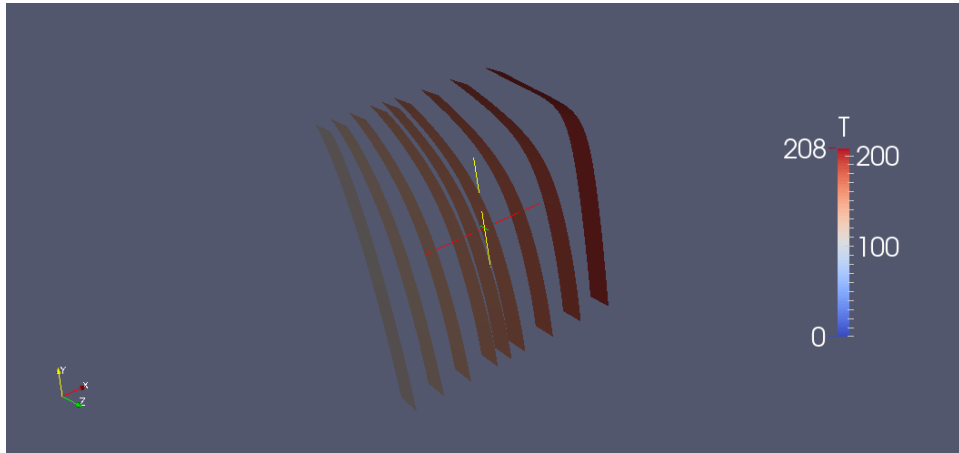


Figura 41: Diferentes isotermas para el campo de temperaturas obtenido